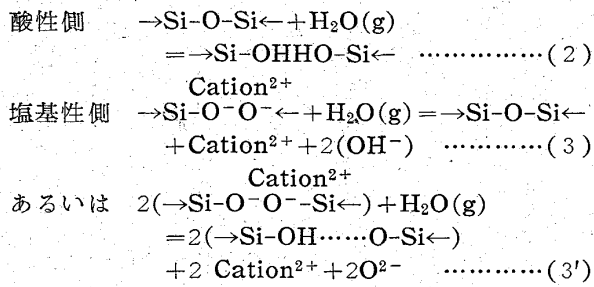
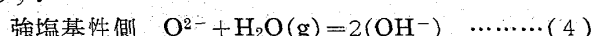


Fig. 5. Solubility of water in SiO_2 -CaO-Acid oxide (P_2O_5 , B_2O_3 , GeO_2) and Amphoteric oxide (Al_2O_3 , TiO_2) melts. ($\text{CaO}/\text{SiO}_2 = 0.59$, $\text{O}_{\text{H}_2\text{O}} = 289 \text{ mm Hg.}$ at 1500°C)

水蒸気のスラグへの溶解反応について、次のような溶解反応式が、RUSSELL ら²⁾さらに今井、大井らにより考えられている。



ただし、 $\text{-OH} \cdots \cdots \text{O-}$ は強い水素結合をした状態を表わす。



これらの反応式より、酸性のスラグに対して水蒸気はあたかも塩基のごとく作用し、塩基性のスラグには酸として作用するものと考えられる。スラグの酸塩基の定義については 2, 3 の説があるが、その性質を表わしているものとして従来考えられているようにイオン-酸素引力 ($I = 2z/a^2$, z : 陽イオンの価電数, a : イオン間距離)¹⁾ と比較すると H_2O が両性として作用することは十分に考えられ、Urs²⁾ も同様に考えている。

これらの溶解反応式を基に Fig. 5 に示す結果を考察する。まず、 $\text{CaO}/\text{SiO}_2 = 0.59$ (0.63 モル比) の SiO_2-CaO 2 元系スラグに対する水蒸気の反応は、スラグが酸性であるから (2) 式の反応が主体をなしていると考えられる。このスラグに酸性酸化物の P_2O_5 , B_2O_3 , GeO_2 を添加するとスラグはより酸性となり (2) 式の反応は

進み水蒸気溶解度が増加するものと推察される。次に両性酸化物を添加した場合、 $\text{SiO}_2\text{-CaO}$ 2元系スラグが酸性であり、 TiO_2 や Al_2O_3 は塩基として作用し、スラグ全体としての酸性度は減少して、それにより水蒸気溶解度は減少すると考えられ、 $\text{AlO}_{1.5}$ が 20モル百分率付近で $\text{CaO} + \text{AlO}_{1.5}/\text{SiO}_2 = 1$ となりこの組成付近より高濃度では Al_2O_3 は酸として作用し、したがつてスラグの酸性度は再び増大し、水蒸気溶解度は増加の傾向に変化すると推察される。また、水蒸気溶解度の増減の割合と各酸化物のイオン-酸素引力 I とはよく対応していることがわかる。

6. 縱 言

- 1) スラグの水素分析法として、モリブデン線を抵抗発熱体とする内部加熱式の炉を用いた真空融法を検討し、アルミニウムでスラグ中の水素を還元し抽出する方法を検討した。
 - 2) 60% SiO_2 -25% CaO -15% Na_2O 合成スラグについて、水素溶解度は水蒸気分圧の平方根に比例する関係を得た。

さらに、 $\text{SiO}_2\text{-CaO}(\text{CaO}/\text{SiO}_2=0\cdot63$ モル比) 合成スラグに酸性酸化物 P_2O_5 , B_2O_3 , GeO_2 および両性酸化物 TiO_2 , Al_2O_3 を添加した場合 Fig. 5 のような結果を得た。また、この増減の割合とイオン-酸素引力との間に関連性のあることを知った。

終わりに当たり本研究遂行にあたり、ご指導下さつた八幡製鉄東京研究所の中村泰理学博士、ご助力下さつた井戸猛、井口泰孝両工学士、さらに赤外線吸収スペクトル測定にご協力下さいました東北大学選鉱試験研究所の山崎太郎教授、白井進之助助教授に深謝の意を表します。

文 献

- 1) *J. H. WALSH, J. CHIPMAN, T. B. KING and W. J. GRONT*: *J. Metals*, 8 (1956), p. 1568
 - 2) *C. R. KURKJIAN and L. E. RUSSELL*: *J. Soc. Glass Tech.*, 42 (1958), p. 130
 - 3) 今井, 大井, 江見: *鉄と鋼*, 50 (1962), p. 111
 - 4) *J. M. UYS and T. B. KING*: *Trans. Met. Soc., Amer. Inst. Min., Met. & Pet. Eng.*, 227 (1963), p. 492
 - 5) *H. SCHOLZE*: *Glass Tech. Ber.*, 32 (1959) 81, p. 142
 - 6) 今井, 大井, 江見: *鉄と鋼*, 50 (1964), p. 878
 - 7) *L. POULING* 著: *化学結合論*

(51) 中性付近での溶済粘度の推定に関する一考察

名古屋工業技術試験所 ○小坂岑雄・高柳 猛
A Study on the Conclusion of the
Slag Viscosity Near the Neutrality.

Mineo KOSAKA and Takeshi TAKAYANAGI

1. 謂言

溶融珪酸塩または溶滓の粘度は溶滓と溶鉄間の物質移動、滓による耐火物の侵食などに関連して工学上からも

非常に重要な数値であることは改めていうまでもない。

このため、基本的な淬の組成である $\text{SiO}_2\text{-CaO}^{(1)}$, $\text{CaO-SiO}_2\text{-Al}_2\text{O}_3^{(2)}$, $\text{CaO-SiO}_2\text{-Al}_2\text{O}_3\text{-MgO}^{(3)}$ などの系について、これまでにも数多い測定がなされて来ている。

しかしながら、高温度における測定の技術的な困難から、これまでにえられている実測値には測定方法、測定者などによつてかなり大きな差がみうけられる。

実際の工業における淬は上述した成分の他にも FeO , MnO , S , P などを含む複雑な多成分系となるが、最近の冶金反応に関する速度論的な研究の進展を考えると、温度および化学的組成を知れば大略の粘度値を求めるような線図または推算式を作ることは有意義なことと考えられる。本報では中性付近の溶融珪酸塩または淬の粘度について、既存の文献値および本研究室で測定した2, 3の例をあわせて整理して化学組成-温度-粘度線図を作ることを試みた。以下結果の概略を述べる。

2. 本研究室の装置、その他

本研究室の粘度測定装置は天秤型白金球引上式のものであり、 SiC 抵抗発熱体により最高温度は 1500°C である。装置は粘度既知のヒマシ油、グリセリン、溶融ホウ砂などを用いて補正を行なつてある。合成淬は工業薬品を配合して前溶融し分析を行なつてから測定に用いているが、これらについて別に詳報する。

3. J. D. MACKENZIE の推算式について

溶融珪酸塩の粘度をその化学組成から推算しようとする試みは、すでに J. D. MACKENZIE⁽⁴⁾によつてなされている。彼はいわゆる“分離イオン”説にもとづき、 $\text{SiO}_2\text{-MO}$ (2価金属酸化物) 系と $\text{SiO}_2\text{-M}_2\text{O}$ (1価金属酸化物) 系の溶融体の粘度測定結果を取りまとめ、つぎのように整理した。

粘度は一般に Arrhenius 式

$$\eta = A \cdot e^{-E_{\eta}/RT} \quad \dots \dots \dots (1)$$

η : 粘度(Poise) A , E_{η} : 系の組成によつてきまる定数にしたがうとしたとき、 A および E_{η} がつぎのように表わせるとした。

$$-\log A = \alpha + \beta (X_m) \quad \dots \dots \dots (2)$$

$$E_{\eta} = \gamma + \delta (X_m) \quad \dots \dots \dots (3)$$

α , β , γ , δ : MO および $M_2\text{O}$ によつて異なる定数

X_m : MO, $M_2\text{O}$ の mol%

さらに $\text{SiO}_2\text{-MO-M}_2\text{O}$ 三元系の粘度については、粘度に關して部分モル量のように考えることにより

$$\eta = N_{\text{MO}}(\eta_{\text{MO}}) + N_{\text{M}_2\text{O}}(\eta_{\text{M}_2\text{O}}) \quad \dots \dots \dots (4)$$

のごとく加算した。この方法により、与えられた系の粘度値を $\pm 20\%$ 程度の誤差で推算することができるとしている。J. D. MACKENZIE は淬の一般的な成分である Al_2O_3 については考慮していないのであるが、 Al^{3+} が一部分 Si^{4+} を置換して net former になりうることを考察して、いま仮りに Al_2O_3 を粘度に關して SiO_2 と等価(mol 分率をとつた時)になると仮定し、J. S. MACHIN らの測定した $\text{SiO}_2\text{-Al}_2\text{O}_3\text{-CaO}$ 系 (Al_2O_3 15 wt.% までの data)⁽⁵⁾ について計算した定数 A , E_{η} と、上述の方法により推算した結果を比較してみると Fig. 1 をうる。図にみるよう実測結果と推算値の一致はきわめて悪い。この誤差は Al_2O_3 を SiO_2 と等価に扱つたことに起因すると考えられ、溶融珪酸塩の粘度に關して、 Al_2O_3

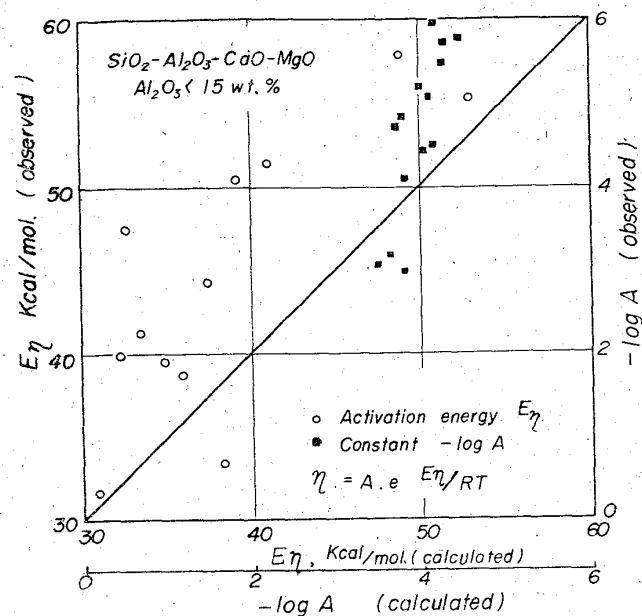


Fig. 1. Values E_{η} and $-\log A$ estimated by MACKENZIE's method in comparison with the observed viscosity data in $\text{SiO}_2\text{-Al}_2\text{O}_3$, CaO-MgO systems. (after J. S. MACHIN et al.)

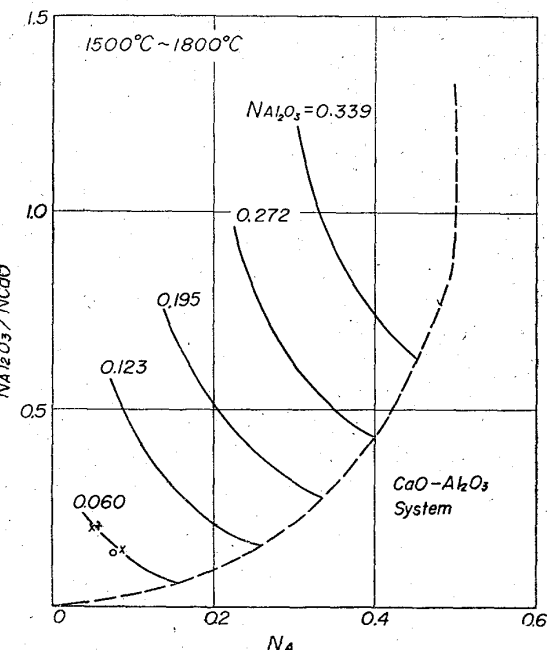


Fig. 2. Silica equivalence of alumina, N_A , related to molar alumina/lime ratio and molar alumina concentration in $\text{CaO-Al}_2\text{O}_3\text{-SiO}_2$ melts. (After E. T. TURKDOGAN and P. M. BILLS)

の影響はかなり複雑であり、決して簡単に等価には取り扱かれないことを示すものと考えられる。

4. Al_2O_3 の SiO_2 等量への換算について

粘度に關する Al_2O_3 の影響をどのように表現するかについて、E. T. TURKDOGAN ら⁽⁶⁾は $\text{SiO}_2\text{-CaO}$ 系⁽¹⁾と $\text{SiO}_2\text{-Al}_2\text{O}_3\text{-CaO}$ 系⁽²⁾溶体が等温度において等粘度となる組成を比較することにより、次式のように Al_2O_3 量を

当量の SiO_2 量に換算した。

$$N_A = N_{\text{SiO}_2 \text{ (binary)}} - N_{\text{SiO}_2 \text{ (ternary)}} \quad \dots \dots (5)$$

N_A : Al_2O_3 の SiO_2 当量, モル分率

E. T. TURKDOGAN らは、比較の結果を Fig. 2 のような線図に表わしている。図にみるよう N_A は $N_{\text{Al}_2\text{O}_3}$ および $N_{\text{Al}_2\text{O}_3}/N_{\text{CaO}}$ の複雑な関数となる。また、Fig. 2 はそれ自体は非常に有用な線図であるが、 $N_{\text{Al}_2\text{O}_3}$ のぎみが粗く実用上はかなり不便である。そこで著者は、E. T. TURKDOGAN らと同一の方法で N_A を求め、Fig. 2 の関係をつぎのように数値表示した。

$$N_A = 1.68(\text{Al}_2\text{O}_3)^{0.88} (\text{CaO})^{0.74}: \text{mol 分率} \dots \dots (6)$$

$$N'_A = 0.0966(\text{Al}_2\text{O}_3)^{0.88} (\text{CaO})^{0.74}: \text{mol \%} \dots \dots (6)'$$

このような計算式を用いることにより、 N_A は計算尺などで簡単に算出することが可能となつた。

5. (6)式の利用による文献値の整理

(6)式を用いて計算することにより、溶融珪酸塩中の Al_2O_3 を当量の SiO_2 量に換算することが容易となつたので、以下 J. S. MACHIN ら³⁾ の測定した $\text{SiO}_2-\text{Al}_2\text{O}_3-\text{CaO}-\text{MgO}$ 系、P. KOZAKEVITCH²⁾ による $\text{SiO}_2-\text{Al}_2\text{O}_3-\text{CaO}$ 系および J. O'M. BOCKRIS ら¹⁾ による SiO_2-CaO 系の粘度測定値を整理した。ここでは N_{MO} については CaO と MgO を等価に扱つて計算した。系の成分の指標として $X = N_{\text{SiO}_2} + N_A$ をとつて表示すると Fig. 3 のようである。

これらの結果は指数 X の関数として、かなりよくまとまつておらず、このまま組成-温度-粘度線図として用いることができるが、ここで注意したいのは Fig. 3 で示した例では溶融珪酸塩の容器として Pt (振動法)¹⁾、MO、W (回転法)^{2,3)} など高融点金属が用いられている点であ

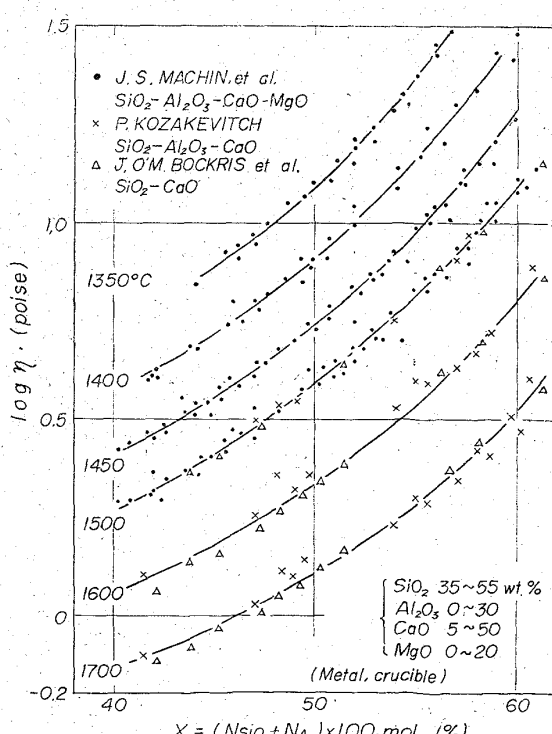


Fig. 3. Viscosities in SiO_2-CaO , $\text{SiO}_2-\text{Al}_2\text{O}_3-\text{CaO}$ and $\text{SiO}_2-\text{Al}_2\text{O}_3-\text{CaO}-\text{MgO}$ systems.

つて、後述するように黒鉛容器により測定したものには含まれていない。

Fig. 3 の結果からすると MgO はあまり多量(20%位まで)でなければ N_{CaO} と N_{MgO} を $N_{\Sigma \text{MO}}$ として扱つても大きな誤差を生じていない。また Al_2O_3 も 30% 位までは (6) 式により換算してさしつかえなかつた。

Fig. 4 には既存の文献値からいくつかの例を計算して、Fig. 3 の曲線と比較してプロットしてみた。すなわち、「 SiO_2 に BaO , MgO , SrO を単独に含む系」⁶⁾, 「 $\text{SiO}_2-\text{Al}_2\text{O}_3-\text{CaO}-\text{MgO}-\text{FeO}$ 」⁷⁾, 「 $\text{SiO}_2-\text{Al}_2\text{O}_3-\text{CaO}-\text{MgO}-\text{MnO}$ - $(\text{BaO})-\text{CaS}$ 」⁸⁾, 「工業上の高炉滓」⁹⁾, 「キュボラ滓」* などである。かなり “ばらつき” は大であるが粘度測定の困難さからするとよく一致したものといふ。ただし FeO 16 wt.% 以上のものは粘度値が低く一致しない⁹⁾。これらの例もまた金属容器によつて溶解されたものである。

参考のために、Fig. 3 の曲線作製のための代表的な定点を Table 1 にまとめておく。ただしこの数値は Fig.

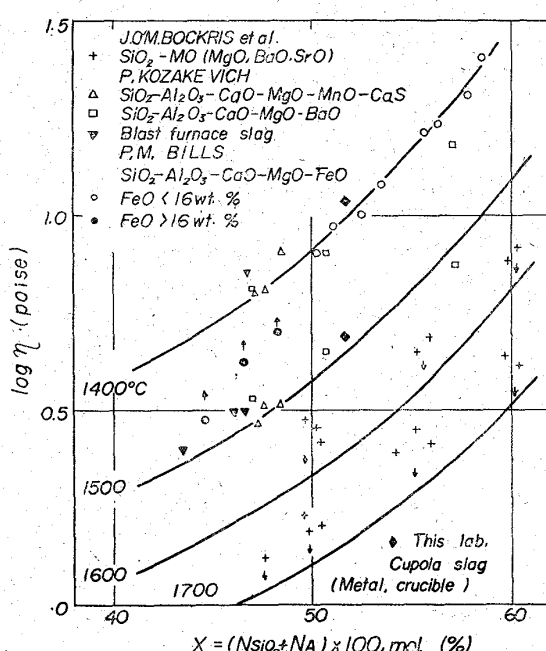


Fig. 4. Viscosities in several silicate melts in comparison with the valid in Fig. 3.

Table 1. Averaged viscosity, $\bar{\eta}$ (poise), from Fig. 3, related to chemical component index, $X = (N_{\text{SiO}_2} + N_A)$

Temp. °C X	1350	1460	1450	1500	1550	1600	1650	1700
42	—	4.38	2.98	2.21	1.65	1.18	0.99	0.76
45	—	5.35	3.68	2.66	1.94	1.46	1.19	0.94
48	10.3	6.79	4.67	3.34	2.48	1.86	1.43	1.12
50	12.7	8.04	5.46	3.90	2.89	2.19	1.70	1.31
55	23.5	14.4	9.55	6.48	5.06	3.79	2.62	1.93
58	35.5	22.2	13.9	9.39	6.55	4.68	3.52	2.68
60	46.3	28.6	18.5	12.5	9.38	6.98	4.79	3.67

* 本研究室における測定値

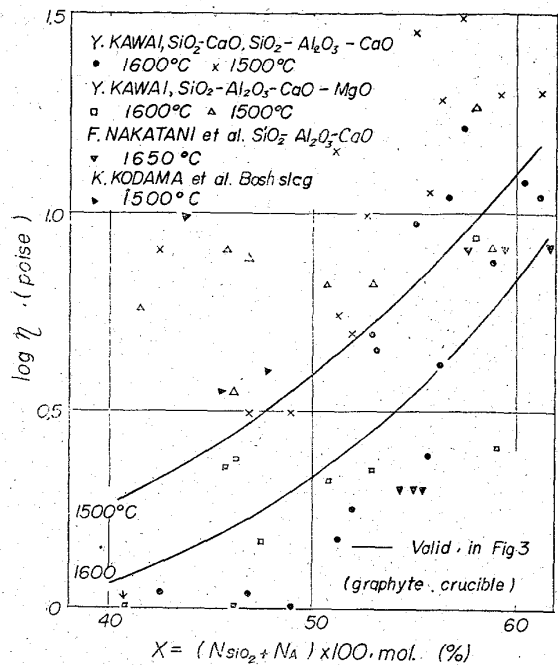


Fig. 5. Viscosities in several silicate systems which were melted in graphite crucible.

3にみる程度の誤差が含まれる。

Table 1の数字は溶融珪酸塩の粘度の概略の値を与えるのみであり、後述するように溶体が黒鉛と触れた場合、測定にさいして“ずれ速度”に大きな差異がある場合は誤差を生ずるおそれがある。しかしながら一般的な組成の中性付近の淬について、概略の粘度値をTable 1によつて求めても大きな誤差を生じないであろうと考えられる。

6. 黒鉛容器を用いた粘度測定例

溶融珪酸塩の粘度測定のために黒鉛製容器を用いることは、溶体と黒鉛の“ねれ”的悪いこと、SiC, CaC₂などの生成¹⁰によってえられる粘度値に何らかの影響が表われることが懸念される。このため本報では容器として黒鉛を用いた測定例^{[1][2][4]}は別に整理を行なつた。その結果の一例をFig. 5に示す。すなわち、黒鉛容器を用いた測定結果はXの関数として一定の関係を示していない。とくに高温度では、Fig. 3の曲線よりも低くなる測定点がみられるが、測定が高温度から順に温度を下げながら行なわれたとすると、時間的にみて初期には“すべり”的影響、後期に反応生成物の影響が表われると考えられ興味ある点である。

しかしながら、工業上（とくに高炉など）の淬は黒鉛と接触していることが多く、この点をどのように評価するかは今後の問題となろう。

7. その他

これまでに行なわれた測定においては、ほとんどの場合、溶融珪酸塩をニュートン流体として取り扱つており、このような取り扱かいの是非について詳細に検討した文献は数少ない。住吉ら^[13]は合成フッ素金雲母融体の粘度測定においてかなりつよい非ニュートン性をみとめており、一般に高分子液体は非ニュートン性を示すと言るので、淬の粘度についてもいわゆる“ずれ速度”

との関係をあきらかにしておく必要があり、今後検討を進めたいと考えている。

8. 結 言

中性付近の溶融珪酸塩の粘度に関して、Al₂O₃量を
 $N_A = 1.68(Al_2O_3)^{0.88} (MO)^{0.74}$: mol fraction
 $N'_A = 0.0966(Al_2O_3)^{0.88} (MO)^{0.74}$: mol %

を用いて、当量のSiO₂量に換算することにより、既知の文献値から組成-温度-粘度線図を作製し、検討を行なつた。溶融珪酸塩の容器として黒鉛を用いた測定値は上述の線図と一致しない。

文 献

- 1.) J. O'M. BOCKRIS, J. D. MACKENZIE, J. A. KITCHNER: Trans. Farady Soc. A., 225 (1955), p. 1734
- 2.) P. KOZAKEVITCH: "Physical Chemistry of Process Metallurgy" Part I. N. Y. (1959), p. 97
- 3.) J. S. MACHIN, Tin. Boo. YEE: J. of Amer. Cer. Soc., 31 (1948), p. 200
J. S. MACHIN, D. L. HANNA: J. Amer. Cer. Soc., 28 (1945), p. 310
J. S. MACHIN, Tin. Boo. YEE, D. L. HANNA: J. Amer. Cer. Soc., 35 (1952), p. 322
- 4.) J. D. MACKENZIE: Trans. Farady. Soc. A., 229 (1957), p. 1488
- 5.) E. T. TURKDOGAN, P. M. BILLS: Ceramic Bulletin, 39 (1960), p. 682
- 6.) J. O'M. BOCKRIS, D. C. LOWE: Trans. Farady. Soc. A., 226 (1954), p. 423
- 7.) P. M. BILLS: J. of Iron and Steel Inst., (1963) Feb., p. 133
- 8.) P. KOZAKEVITCH: Rev. Mèt., 51 (1954), p. 570
- 9.) P. KOZAKEVITCH: Ibid., 46 (1949), p. 505
- 10.) J. F. BACON, A. A. HASAPIS and J. W. WHOLLEY, Jr.: Phys. Chem. of Glasses, 1 (1960), p. 90
- 11.) Y. KAWAI: Science Repts. Research. Inst. Tohoku Univ. Ser A., 3 (1951), p. 491
T. SAITO, Y. KAWAI: Ibid., Ser A., 4 (1952), p. 615
- 12.) 中谷, 羽田野: 鉄と鋼, 51 (1965), p. 698
- 13.) 住吉, 野田: 工化誌, 65 (1962), p. 150
- 14.) 児玉, 他: 鉄と鋼, 50 (1964), p. 1621